# 既設鋼 I 桁橋における F 荷重載荷時の応力推定に関する検討

東京都立大学 学生会員 〇石川 諒太郎 東京都立大学 正会員 村越 潤 岸 祐介

## 1. はじめに

疲労設計導入前に建設された鋼 I 桁橋において,主桁と横桁の 交差部や横構取付け部等の疲労強度の低い溶接継手に,桁破断に つながりかねない重大な疲労き裂が報告されている <sup>1),2)</sup>.これらの 疲労損傷を未然に防ぐためには,定期点検に加えて,き裂発生前 から戦略的に対策を講じていくことも手段として重要と考えられ る.本稿では,既設鋼 I 桁橋の疲労耐久性を概略評価することを 目的として,既設橋の再現設計データを基に,道路橋示方書(以 下,道示)に規定される疲労照査用の活荷重(F 荷重 <sup>3)</sup>)載荷時 の応力範囲を推定する方法について検討した結果を報告する.

## 2. F荷重応力の推定式

F荷重応力の推定にあたって、設計時の平面格子解析による構造計算を行わずに、橋梁台帳等の記録書類から引き出せる構造諸元情報を基に、同応力を概略推定する手法を考えることにした。図-1 に推定方法の概要を示す。図中に示す L, S,  $d(d_1, d_2)$ ,  $d_e$ ,  $t_s$  の諸元から、対象橋梁にF荷重を載荷した際の着目桁の支間中央断面に生じる応力範囲  $\Delta \sigma_F$  の推定を試みた。具体的には活荷重を載荷した際の,各桁への荷重分配効果を表現するための係数 g (荷重分配係数と呼ぶ)を導入し、既往研究等  $^{4).5)}$ を参考に式(1)で表す。

 $\Delta \sigma_F = g \cdot \Delta M \cdot y_w / I \tag{1}$ 

ここに、 $\Delta\sigma_F$ : F荷重応力範囲(N/mm²)、 $\Delta M$ : 1本梁モデルにF荷重を載荷した時の最大曲げモーメント範囲(N·mm)、I: 断面2次モーメント(mm⁴)、 $y_w$ : 中立軸から対象とする継手までの距離(mm)である。以下、 $\Delta\sigma_F$ については、主桁の応力状態の代表値として、支間中央を対象とし、下フランジ上面位置の応力範囲とする。 $\Delta\sigma_F$ の格子解析値に対して、g、I、 $y_w$ を目的変数として、諸元情報を説明変数として次式により与えた。

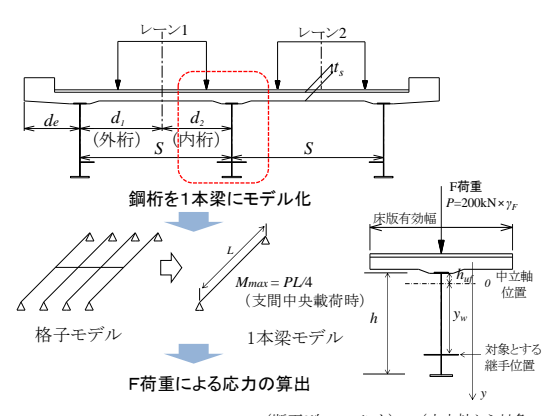


図-1 F 荷重応力の推定方法の概要

## 表-1 g, I, y の推定式の回帰係数

## (a) 断面二次モーメント I

		$a_1$	$a_2$	$a_3$	$a_4$		
	$I_e$	117.5	-4.2×10 <sup>6</sup>	-1.38×10 <sup>16</sup>	$9.4 \times 10^{10}$		
		$a_5$	$a_6$	$a_7$	$a_8$		
	$I_i$	122.8	-4.6×10 <sup>6</sup>	-1.11×10 <sup>16</sup>	$8.6 \times 10^{10}$		

## (b) 中立軸位置 y<sub>w</sub>

	$b_1$	$b_2$	$b_3$
$y_{wje}$	2.6×10 <sup>-2</sup>	-1.8×10 <sup>8</sup>	900.7
	$b_4$	$b_5$	$b_6$
$y_{wji}$	2.8×10 <sup>-2</sup>	-1.5×10 <sup>8</sup>	833.4

## (c) 荷重分配係数 g

	$c_I$	$c_2$	
$g_e$	-0.50	0.86	
	$c_3$	$c_4$	$c_5$
$g_i$	-5.6×10 <sup>-3</sup>	-1.3×10 <sup>-3</sup>	0.35

I: 外桁: $I_e = a_1 L^2 + a_2 L + a_3 (1/A_c) + a_4$  (2a), 内桁: $I_i = a_5 L^2 + a_6 L + a_7 (1/A_c) + a_8$  (2b)

 $y_w$ : 外桁: $y_{we} = b_1 L + b_2 (1/A_c) + b_3$  (3a), 内桁: $y_{wi} = b_4 L + b_5 (1/A_c) + b_6$  (3b)

g: 外桁: $g_e = c_1 (d/S) + c_2$  (4a), 内桁  $g_i = c_3 (d/S) + c_4 (L/S) + c_5$  (4b)

ここに、L: 支間長(mm)、d: F荷重の載荷中心位置から着目桁までの距離(mm)、S: 主桁間隔(mm)、 $d_e$ : 床版張出 し長(mm)、 $t_s$ : 床版厚(mm)、 $a_i$ ,  $b_i$ ,  $c_i$ : 回帰分析により設定する係数(表-1)である。 $A_c$  は床版の有効断面積であり、外・内桁ではそれぞれ( $d_e$ + S/2)・ $t_s$  、S・ $t_s$ とした。gは図-1に示す1本梁モデルと平面格子解析による、着目桁に生じる曲げによる直応力の比率を意味する。なお、外桁と内桁では、幅員構成と桁配置の関係により主桁設計に適用するL荷重に対するF荷重の影響度合いが異なり、構造的にも荷重分配の傾向が異なるため、推定式を分けて検討した。

推定式の設定にあたって、まず、I、 $y_w$ の推定式の回帰係数  $a_i$ ,  $b_i$ を設定し、式(1)に反映した上で、式(1)中の荷重分配係数gの回帰分析を行い、式(4)中の回帰係数 $c_i$ を求めた。式(1)中の断面二次モーメントIと中立軸の位置 $y_w$ については、それぞれ支間長L(m)を主とした2次式と1次式で推定した。なお、本検討では道示の疲労照査と同等の照査

キーワード 既設橋,鋼 I 桁橋,維持管理,疲労照査,応力推定

連絡先〒192-0397 東京都八王子市南大沢 1-1 東京都立大学 TEL 042-677-2782 E-mail: ishikawa-ryotaro1@ed.tmu.ac.jp

を行うために格子解析値を推定しており、実応力との相違は計算応力補正係数  $(y_n = 0.8)^3$ により考慮することとしている.

### 3. 回帰分析に用いた再現設計データ

応力範囲  $\Delta \sigma_F$ 等のデータは,既設橋の再現設計により算出した.再現設計では,F荷重応力が大きい傾向にある昭和39年道示で設計された道路橋(単純桁,直橋)を主な対象(一部,昭和55年道示を含む)とし,当時の標準設計等による設計方法を反映した.応力範囲に影響を与える構造諸元を網羅できるように,支間長  $(25\sim50\mathrm{m})$ ,有効幅員  $(7\sim9.5\mathrm{m})$ ,主桁本数  $(3\sim4$  本),歩道の有無等の異なる,全 14橋の再現設計を実施した.また,14橋のうち,4橋では,それぞれ幅員方向の荷重載荷位置をレーン位置から  $20\sim65\mathrm{cm}$  ずらした計 3ケースの応力範囲を算出し,全 22 ケースの外桁・内桁のデータを得た.支間中央断面の使用鋼材は,昭和 39年道示では  $\mathrm{SM50}$ (許容応力度  $\sigma_a$ =190 $\mathrm{N/mm}^2$ ),昭和55年道示では  $\mathrm{SM50Y}$ ( $\sigma_a$ =210 $\mathrm{N/mm}^2$ ) である.再現設計より求めた変動応力補正係数  $\gamma_F$   $(\mathrm{NF})$  (以下,補正後と記載)を考慮した支間中央下フランジ位置の応力範囲  $\Delta\sigma_F$ (補正後) は,28.2~84.5 $\mathrm{N/mm}^2$ , $\gamma_F$  は  $2.63\sim2.68$  である.なお,横構の取り付く面外ガセット位置  $(\mathrm{Dz})$  での応力範囲は,下フランジ位置に対して  $0.76\sim0.86$  の比率である.

図-2 に格子解析より算出された諸量を基に、式(1)より算出した荷重分配係数gとd/S の関係を示す。図中の線種の異なる線は、同一の橋で幅員方向載荷位置のみを変えた 3 ケースの結果を結んでいる。特に外桁ではgとd/S は概ね線形関係にあり、式(4a)によりその傾向を表現できると考えられる。一方、内桁では、g はd/S に対してほとんど変化せず外桁ほど明確な関係はみられない。式(4a)とは異なる式形や変数についても種々検討したが、推定精度は大きく変わらないため、式(4b)で表すこととした。表-1 に求めた回帰係数を示す。

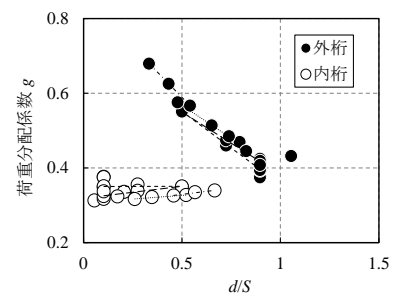


図-2 荷重分配係数と d/S の関係

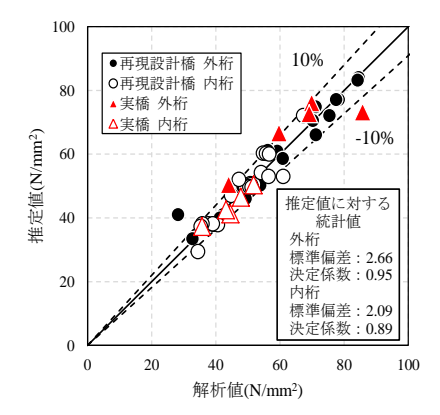


図-3 解析値と推定値の比較

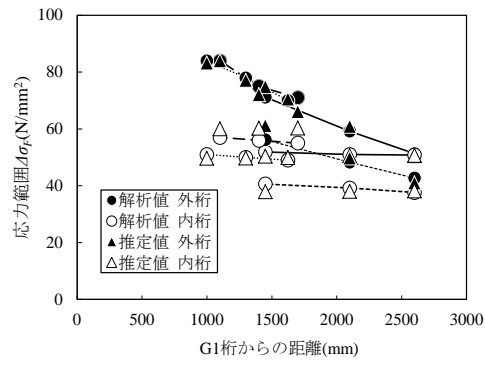


図-4 荷重載荷位置と各桁の応力範囲の関係

#### 4. 検討結果

図-3に応力範囲(補正後)に関して,再現設計データに対する格子解析値と推定値の関係(図中の丸印記号)を示す.また,図-4に幅員方向に載荷位置を変えた4橋について,載荷位置(F荷重の載荷中心位置)と外桁(G1)及び内桁(G2)の応力範囲の関係を示す。図-4中の線種の異なる線は、図-2と同様に、同一の橋で載荷位置のみを変えた3ケースの結果を結んでいる。外桁・内桁ともに再現設計による格子解析値を良好に推定できており(図-3)、載荷位置による荷重分配効果も適切に推定できている(図-4)ことがうかがえる。

また、図-3 中には、回帰分析により推定式を設定した後に、新たに別の実橋 5 橋(外桁、内桁)について推定した結果(図中の三角印記号)も示している。5 橋は、活荷重合成単純鋼 I 桁(4-6 主桁、L=28.9-40.1m、 $d_I$ =1225-2225mm、S=2900-3500mm、 $d_I$ =1600-1900mm、 $d_I$ =1000-1250mm、 $d_I$ =180-210mm)であるが、解析値を概ね推定できている。

限られた再現設計データに基づく検討結果であるが、少ない構造諸元データより単純桁における疲労照査対象部位のF荷重応力度の概略推定できることを確認した.引き続き、実橋への適用性について検討していく予定である. 謝辞:本研究の一部は、(一財)首都高速道路技術センターの研究助成を受けて実施した.ここに、記して謝意を表する.

参考文献: 1) 玉越,他:鋼部材の疲労き裂について(その1)-道路橋の主桁-,土木技術資料 Vol.51, No.10, 2009.10. 2) 中村,他:「主桁-横桁取合い部」損傷の補修検討,土木学会第 64 回年次学術講演会概要集,I-140, 2009.9. 3) (社)日本道路協会:道路橋示方書・同解説 II 鋼橋・鋼部材編, 2017.11. 4) AASHTO: AASHTO LRFD Bridge Design Specifications, 8th Edition, 2017. 5) 田代,他: 既設鋼 I 桁橋における疲労照査用活荷重応力度の推定に関する検討,土木学会第 69 回年次学術講演会概要集,I-485, 2014.9.